# КРАТКОЕ СООБЩЕНИЕ

Y I K 547.745 + 547.781.1

# ВЗАИМОДЕЙСТВИЕ ПРОИЗВОДНЫХ 4-ГИДРОКСИСПИРО[ПИРРОЛ-2,3'-ПИРРОЛА] И 4'-ГИДРОКСИСПИРО[ИМИДАЗОЛ-5,2'-ПИРРОЛА] С ДИЦИКЛОГЕКСИЛКАРБОДИИМИДОМ

© 2024 г. Е. А. Лысцова, Е. Е. Храмцова, А. Н. Масливец\*

ФГАОУ ВО "Пермский государственный национальный исследовательский университет" Россия, 614990 Пермь, ул. Букирева, 15 \*e-mail: koh2@psu.ru

Поступила в редакцию 12.07.2022 г. После доработки 24.07.2022 г. Принята к публикации 25.07.2022 г.

Взаимодействие замещенных 4-гидроксиспиро[пиррол-2,3'-пиррола] и 4'-гидроксиспиро[имидазол-5,2'-пиррола] с дициклогексилкарбодиимидом приводит к соответствующим производным 4-уреидоспиро[пиррол-2,3'-пиррола] и 4'-уреидоспиро[имидазол-5,2'-пиррола]. Термическое разложение полученных уреидоспиробисгетероциклов протекает неселективно.

**Ключевые слова:** пиррол-2-он, спиро[пиррол-2,3'-пиррол], спиро[имидазол-5,2'-пиррол], спиробисгетероциклы, уреиды, карбодиимиды, термолиз

**DOI:** 10.31857/S0514749224020029, **EDN:** EKIXIW

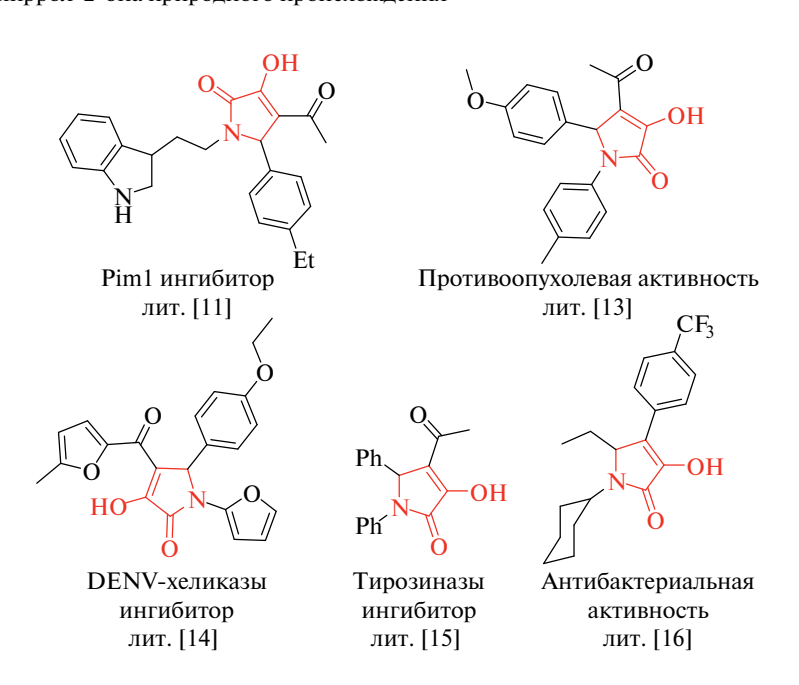
Соединения с пиррол-2-оновым каркасом обладают широким фармакологическим профилем [1]. Биологически активные пиррол-2-оны могут иметь как природное (леополиевая кислота А [2], клаузенамид [3], фенопиррозин [4], 2-гидроксифенопиррозин [5]) (рис. 1), так и синтетическое происхождение (рис. 2) [1, 6—10]. Среди производных пиррол-2-онов можно выделить 3-гидроксизамещенные 1,5-дигидро-2*H*-пиррол-2-оны, которые обладают антипролиферативной [11, 12]) и противоопухолевой [13] активностью, ингибирующими свойствами в отношении DENV-хеликазы [14] и тирозиназы [15], антибактериальной активностью (рис. 2) [16].

Стоит отметить, что замена 3-ОН-группы в 3-гидрокси-1,5-дигидро-2H-пиррол-2-онах на 3-NHR-заместитель может сильно влиять на биологическую активность 1,5-дигидро-2H-пир-

рол-2-онов. Например, некоторые 3-амино-1,5-дигидро-2H-пиррол-2-оны имеют бо́льшую ингибирующую активность в отношении раковых клеток в сравнении с соответствующими 3-гидрокси-1,5-дигидро-2H-пиррол-2-онами (рис. 3) [12].

Ранее нами был разработан подход к получению аминированных спиро[имидазол-5,2'-пирролов] 5 (схема 1) [17], эффективный в тех случаях, когда аминирование 3-гидрокси-1,5-дигидро-2*H*-пиррол-2-онов 1 классическим методом (их реакцией с аминами 6) невозможно (схема 1). Данный подход [17] включает 2 этапа. Первый этап заключается в замещении ОН-группы в положении С³ пиррольного фрагмента соединений 1 на уреидную группу реакцией с карбодиимидами 2, в результате чего образуются уреиды 3. Второй этап — термолиз уреидов 3 с образованием изоцианатов 4 и целевых 3-аминозамещенных пиррол-2-онов 5.

Рис. 1. Производные пиррол-2-она природного происхождения



**Рис. 2.** Некоторые 3-гидроксизамещенные 1,5-дигидро-2H-пиррол-2-онов, проявляющие биологическую активность

Целью настоящей работы является исследование применимости предложенного нами ранее подхода [17] (схема 1) к синтезу новых аминированных спиро[пиррол-2,3'-пирролов] и спиро[имидазол-5,2'-пирролов].

Взаимодействие соединения **7a** с дициклогексилкарбодиимидом **8** приводит к образованию уреидоспироцикла **9a** (схема 2). Стоит отметить, что согласно данным **ЯМР** исходное соединение **7a** существует в мостиковой форме **A** [18]. По-видимому, форма **A** находится в равновесии со спиробисциклической формой **B** [18], которая и вступает в реакцию с карбодиимидом **8** с образованием соединения **9a**.

Структура соединения **9а** подтверждена методом PCA (рис. 4).

Соединение 9a кристаллизуется в центросимметричной пространственной группе моноклинной сингонии. Взаимное расположение бензоильного заместителя и фрагмента мочевины определяется наличием внутримолекулярной водородной связи  $N^4$ — $H^4$ — $O^6$ . За счет межмолекуляр-

ных водородных связей  $O^5$ — $H^5$ … $O^4$  [0.5—x, 0.5+y, 0.5—z] в кристалле молекулы связаны в бесконечные цепи.

Взаимодействие соединения **7b** с дициклогексилкарбодиимидом **8** приводит к образованию уреидоспироцикла **9b** (схема 3). Примечательно, что исходное соединение **7b** существует в форме иминиевой соли **D** [19], находящейся, по-видимому, в равновесии с 3-гидроксипиррол-2-оновой формой **E**, которая и вступает в реакцию с карбодиимидом **2** с образованием соединения **9b**.

Соединения **9а,b** получают в результате нуклеофильной атаки енольной группы имидного атома углерода карбодиимида **8**, приводящей к образованию изомочевин **C**, **F**, в которых происходит нуклеофильная атака вторичной группой NH атома С<sup>3</sup> пиррол-2-онового фрагмента с образованием С<sup>3</sup>–N связи и одновременный разрыв связи С<sup>3</sup>–О. Аналогичная последовательность стадий наблюдается при образовании побочных продуктов при этерификации по Штеглиху [20]. Протекание реакции по енольной группе объясняется тем, что

**Рис. 3.** Антипролиферативная активность некоторых 3-гидрокси- и 3-амино-1,5-дигидро-2H-пиррол-2-онов [12] ЖУРНАЛ ОРГАНИЧЕСКОЙ ХИМИИ том 60 № 2-3 2024

# Схема 2

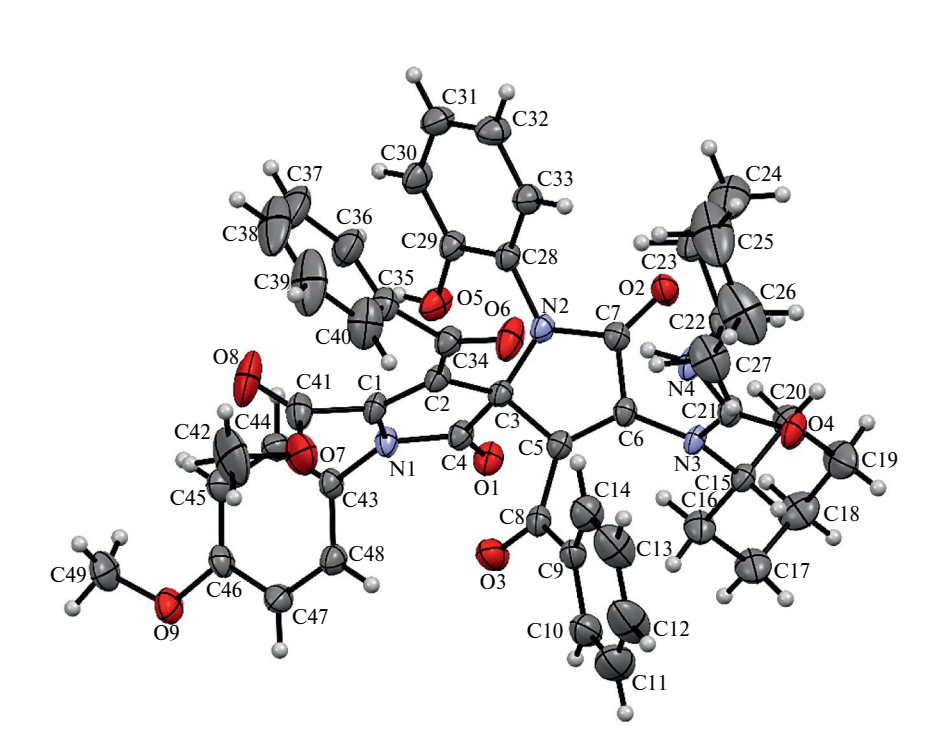


Рис. 4. Общий вид молекулы соединения 9а по данным РСА в тепловых эллипсоидах 30%-ной вероятности

фенольная гидроксигруппа имеет более низкую кислотность, а значит, менее реакционноспособна во взаимодействиях с карбодиимидами [21].

Установление структуры полученных продуктов проводили методами ИК и ЯМР спектроскопии (рис. 4—6). Структура продукта **9a** установлена данными РСА, и на основании сравнения его спектров ИК, ЯМР <sup>1</sup>Н и <sup>13</sup>С со спектрами модельных соединений **3**, **5** [17] и исходного соединения **7a** (рис. 4). Структура соединения **9b** установлена на основании сравнения его спектров ИК, ЯМР <sup>1</sup>Н со спектрами модельных соединений **3**, **5** [17] и исходного соединения **7b** (рис. 4) [19].

Так, в ИК спектрах продуктов 9a и 9b и соединения 5 наблюдаются характеристические сигналы карбонильной группы фрагмента мочевины в области 1630-1645 см<sup>-1</sup>. Данные сигналы отсутствуют в ИК-спектрах исходных соединений 9a,b и 3.

В спектрах ЯМР <sup>1</sup>Н продуктов **9а** и **9b** и соединения **5** присутствуют дублеты NH-группы уреидного фрагмента в области 5.37—6.86 м.д., отсутствующие в спектрах исходных соединений **7а,b** и **3**. Также в спектрах ЯМР <sup>1</sup>Н продуктов **9а,b** наблюдаются сигналы протонов 2 циклогексильных фрагментов в области 0.84—3.74 м.д.

В спектрах ЯМР <sup>13</sup>С продукта **9а** и аналога **5** наблюдается сигнал в слабопольной области при

142.1—148.5 м.д., соответствующий карбонильному атому углерода во фрагменте мочевины, и сигнал в области 138.4—139.1 м.д., соответствующий атому углерода С<sup>4</sup>. Атом С<sup>4</sup> енольной группы располагается в более слабопольной области при 169.2 м.д. (на примере соединения **3**), а атом углерода фенольного фрагмента при ОН-группе в соединениях **9а**, **7а**,**b** и **3**, **5** наблюдается в диапазоне 154.2—154.7 м.д. Также в спектрах ЯМР <sup>13</sup>С продукта **9а** присутствуют сигналы атомов углерода 2 циклогексильных фрагментов в области 24.9—57.3 м.д.

Таким образом, на основании данных ИК и ЯМР спектров продуктов **9a** и **9b** можно утверждать о наличии уреидного фрагмента при атоме углерода С<sup>4</sup> пиррольного цикла.

Попытки синтеза соединений **10а,b** термическим разложением соединений **9а,b** (в диапазоне температур 255—259°С для соединения **9а** и 260—264°С для соединения **9b**) не оказались успешными. В результате термолиза соединений **9а,b** образовывалось множество неидентифицируемых продуктов, а соединения **10а,b** определялись в следовых количествах (по данным *ультра*-ВЭЖХ-УФ-МС реакционных смесей). Так, в спектре реакционных масс с ожидаемым продуктом **10а** присутствовал пик соединения с сигналами ионов с молекуляр-

#### Схема 3

ЖУРНАЛ ОРГАНИЧЕСКОЙ ХИМИИ том 60 № 2-3 2024

ной массой 713 [M + H]<sup>+</sup> (ESI+, расчетная масса  $C_{42}H_{37}N_3O_8+H^+$ 713 [M + H]<sup>+</sup>) и 711 [M — H]<sup>-</sup> (ESI—, расчетная масса  $C_{42}H_{37}N_3O_8-H^-$  711 [M — H]<sup>-</sup>), а с ожидаемым продуктом **10b** — пик соединения с сигналами ионов с молекулярной массой 647 [M + H]<sup>+</sup> (ESI+, расчетная масса  $C_{37}H_{32}ClN_5O_4+H^+$ 647 [M + H]<sup>+</sup>), 645 [M — H]<sup>-</sup> (ESI—, расчетная масса  $C_{37}H_{32}ClN_5O_4-H^+$ 645 [M — H]<sup>-</sup>). Варьирова-

ние условий реакции (изменение продолжительности нагрева от 15 мин до 9 ч и температур от 235 до  $300^{\circ}$ C) не привело к увеличению выходов целевых соединений **10а,b**.

Такие результаты могут объясняться тем, что соединения **9а,b** в своей структуре содержат спирогетероциклические надстройки — замещенные пиррольный (продукт **9a**) и имидазольный

Рис. 4. Характеристические сигналы соединений 7а, b, 9а, b и 3, 5 [17] по данным ИК спектров

(продукт **9b**) циклы, которые, по-видимому, подвергаются разложению при исследованных температурах.

Метил 9-бензоил-1-(2-гидроксифенил)-7-(4-метоксифенил)-2,3,8-триоксо-4-фенил-2,3,7,8-тетрагидро-1*H*,6*H*-6,8а-метанопирроло[2,3-*e*][1,3] оксазепин-6-карбоксилат (7а). Смесь 500 мг (0.157 ммоль) 3-бензоилпирроло[2,1-*c*][1,4]бензоксазин-1,2,4-триона и 460 мг (0.157 ммоль) метил-

4-(4-метоксифенил)-4-оксо-2-(фениламино)бут-2-еноата кипятили в 20 мл безводного бензола с обратным холодильником в течение 1 ч. Охлаждали. Выпавший осадок отфильтровывали, перекристаллизовали из этилацетата. Выход 820 мг (85%), т.пл. 236—238°С (разл.), кристаллическое вещество светло-желтого цвета. ИК спектр, v, см<sup>-1</sup>: 3287 ш, 3187 ш, 1764, 1724, 1714, 1685. Спектр ЯМР <sup>1</sup>Н (400 МГц, ДМСО- $d_6$ ),  $\delta$ , м.д.: 3.27 с

**Рис. 5.** Характеристические сигналы соединений 7**a**,**b**, 9**a**,**b** и 3, 5 [17] по данным ЯМР ¹Н спектров ЖУРНАЛ ОРГАНИЧЕСКОЙ ХИМИИ том 60 № 2−3 2024

(3H, COOMe), 3.71 с (3H,  $C_6H_4OMe$ ), 5.20 с (1H,  $C^9H$ ), 6.94 м (4 $H_{apom}$ ), 7.06 м (2 $H_{apom}$ ), 7.32 м (1 $H_{apom}$ ), 7.44 м (1 $H_{apom}$ ), 7.54 м (2 $H_{apom}$ ), 7.62—7.72 м (4 $H_{apom}$ ), 7.78 м (2 $H_{apom}$ ), 7.98 м (2 $H_{apom}$ ), 9.92 с (1H, OH). Спектр ЯМР <sup>13</sup>С (100 МГц, ДМСО- $d_6$ ),  $\delta$ , м.д.: 53.4, 55.2, 65.1, 92.3, 106.1, 114.7, 116.7, 119.3, 120.5, 126.3, 126.5 (3C), 128.0 (3C), 128.4 (3C), 128.8 (3C), 129.4, 130.5, 131.0, 133.1, 133.8, 136.4, 153.9, 158.9, 160.9, 162.0, 162.1, 168.2, 176.8, 190.3. Масс-спектр, m/z: 632 [M]+. Найдено, %: C 68.91; H 4.23; N 4.54.  $C_{36}H_{26}N_2O_9$ . Вычислено, %: C 68.57; H 4.16; N 4.44.

Метил 4,9-дибензоил-1-(2-гидроксифенил)-7-(4-метоксифенил)-2,6-диоксо-3-(1,3-дициклогексилуреидо)-1,7-диазоспиро[4.4]нона-3,8-диен-8-карбоксилат (9а). Смесь 100 мг (0.159 ммоль) соединения 1а и 36 мг (0.175 ммоль) дициклогексилкарбодиимида 2 кипятили в 2 мл толуола с обратным холодильником в течение 2 ч. Охлаждали. Выпавший осадок отфильтровывали, промывали этанолом. Выход 104 мг (78%), т.пл. 256—258°С (разл.), кристаллическое вещество белого цвета. ИК спектр, v, см-1: 3388, 3141, 3083, 1777,

н.д. — нет данных ЯМР спектра из-за низкой растворимости соединения в ДМСО- $d_6$  и CDCl<sub>3</sub>

**Рис. 6.** Характеристические сигналы соединений 7a,b, 9a,b и 3,5 [17] по данным ЯМР <sup>13</sup>С спектров

1756. 1718. 1656. 1630. Спектр ЯМР <sup>1</sup>Н (400 МГц. ДМСО- $d_6$ ),  $\delta$ , м.д.: 0.98-0.84 м (1H, Cv), 1.18-1.07 m (3H, Cv), 1.35-1.26 m (3H, Cv), 1.77-1.45 m (8H, Cy), 1.94 м (1H, Cy), 2.81 с (3H, Cy), 3.26 с (4H, Cv+COOMe), 3.48 m (1H, Cv), 3.74 m (1H, Cv), 3.81 с (3H, C<sub>6</sub>H<sub>4</sub>OMe), 5.37 д (1H, NH, *J* 7.2 Гц),  $6.89 \text{ M} (1H_{apom}), 6.96 \text{ M} (1H_{apom}), 7.01 \text{ M} (2H_{apom}),$  $7.08 \text{ м} (3H_{\text{аром}}), 7.30 \text{ м} (5H_{\text{аром}}), 7.53 \text{ м} (3H_{\text{аром}}), 7.72 \text{ м}$ (1H<sub>аром</sub>), 8.06 м (2H<sub>аром</sub>), 9.92 с (1H, ОН). Спектр ЯМР <sup>13</sup>С (100 МГц, ДМСО-*d*<sub>6</sub>),  $\delta$ , м.д.: 24.9, 25.0, 25.4, 25.7, 26.0, 30.8, 31.8, 33.0, 33.5, 33.8, 50.0, 53.0, 56.0, 57.3, 73.7, 115.0, 115.2 (2C), 115.6, 117.0, 119.7, 122.5, 126.7, 128.0 (2C), 128.5 (2C), 128.8 (2C), 128.9, 128.9 (2C), 129.8 (2C), 130.5, 133.2, 134.5, 136.0, 138.3, 138.4, 148.5, 154.4, 154.7, 159.4, 160.1, 167.1, 172.5, 188.9, 190.9. Macc-chektp, m/z: 838  $[M]^+$ . Найдено, %: С 70.43; Н 5.81; N 6.64. С<sub>49</sub>H<sub>48</sub>N<sub>4</sub>O<sub>9</sub>. Вычислено, %: С 70.32; Н 5.78; N 6.69.

1-(6-(2-Гидроксифенил)-2-имино-4,7-диоксо-1,3-дифенил-9-(4-хлорбензоил)-1,3,6-триазаспиро[4.4]нон-8-ен-8-ил)-1,3-дициклогексилмоче**вина (9b).** Смесь 100 мг (0,177 ммоль) соединения **1b** и 73 мг (0.354 ммоль) дициклогексилкарбодиимида 2 кипятили в 2 мл толуола с обратным холодильником в течение 2 ч. Охлаждали. Выпавший осадок отфильтровывали, промывали этанолом. Выход 104 мг (76%), т.пл. 261–263°С (разл.), бесцветное кристаллическое вещество. ИК спектр, v. cm<sup>-1</sup>: 3241, 3186, 3116, 3055, 1786, 1694, 1664, 1633, Спектр ЯМР  $^{1}$ Н (400 МГц, ДМСО- $d_{6}$ ),  $\delta$ , м.д.: 1.0— 0.86 м (9H, Cy), 1.47—1.24 м (11H, Cy), 2.79 м (1H, Cy), 3.16 м (1H, Cy), 6.86 д (1H, NH, J6.4 Гц), 6.96 м  $(1H_{apom})$ , 7.40–7.18 m  $(11H_{apom})$ , 7.05 m  $(1H_{apom})$ , 7.56 m  $(3H_{apom})$ , 7.70 m  $(2H_{apom})$ , 7.88 yiii. c  $(1H, NH_{umuhorp})$ , 9.79 уш.с (1H, OH). Macc-спектр, m/z: 772  $[M]^+$ . Найдено, %: С 68.29; Н 5.60; N 10.93. С<sub>44</sub>Н<sub>43</sub>СIN<sub>6</sub>О<sub>5</sub>. Вычислено, %: С 68.52; Н 5.62; N 10.90.

Рентгеноструктурный анализ выполнен на монокристальном дифрактометре Xcalibur Ruby с ССD-детектором (МоК $\alpha$ -излучение, 295(2) K,  $\omega$ -сканирование с шагом 1°). Поглощение учтено эмпирически с использованием алгоритма SCALE3 ABSPACK [22]. Структура расшифрована с помощью программы SHELXS [23] и уточнена полноматричным методом наименьших квадратов по  $F^2$  в анизотропном приближении для всех неводородных атомов с использованием программы ЖУРНАЛ ОРГАНИЧЕСКОЙ ХИМИИ том 60 № 2–3 2024

SHELXL [24] с графическим интерфейсом OLEX2 [25]. Атомы водорода групп NH и OH уточнены независимо. При уточнении остальных атомов водорода использована модель *наездника*. Сингония кристалла ( $C_{49}H_{48}N_4O_9$ ) моноклинная, пространственная группа  $P2_{1/n}$ , a 11.323(2) Å, b 21.216(3) Å, c 18.407(5) Å,  $\beta$  95.70(2)°, V 4400.3(17) Å3, Z 4,  $d_{\text{выч}}$  1.263 г/см³,  $\mu$  0.088 мм $^{-1}$ . Окончательные параметры уточнения:  $R_1$  0.0808 [для 3732 отражений с I > 2o(I)],  $wR_2$  0.2380 (для всех 10442 независимых отражений,  $R_{\text{int}}$  0.0927), S 0.968. Результаты PCA зарегистрированы в Кембриджской базе структурных данных под номером CCDC 2281173 и могут быть запрошены по адресу: www.ccdc.cam.ac.uk/ structures.

ИК-спектры полученных соединений записаны на спектрофотометре Spectrum Two (Perkin Elmer, США) в виде пасты в вазелиновом масле. Спектры ЯМР <sup>1</sup>Н и <sup>13</sup>С записаны на спектрометре Bruker AVANCE III HD 400 (Швейцария) [рабочая частота 400 (<sup>1</sup>H) и 100 (<sup>13</sup>C) МГц] в ДМСО-*d*<sub>6</sub>, внутренний стандарт — остаточные сигналы растворителя (2.50 м.д. для ядер <sup>1</sup>H, 39.5 м.д. для ядер <sup>13</sup>С). Элементный анализ выполнен на анализаторе vario Micro cube (Германия). Температуру плавления определяли на аппарате Mettler Toledo MP70 (Швейцария). Оптимизация условий реакции, анализ реакционных масс проводили методом ультра-ВЭЖХ-УФ-МС на приборе Waters ACQUITY UPLC I-Class (колонка Acquity UPLC BEH C18 1.7 мкм, подвижная фаза — ацетонитрил-вода, скорость потока 0.6 мл/мин. диодно-матричный детектор ACQUITY UPLC PDA еλ Detector (диапазон длин волн 230–780 нм) (Thermo Fisher Scientific, США), масс-спектрометрический детектор Xevo TQD (Agilent, США), ионизация электрораспылением (ESI), обнаружение положительных и отрицательных ионов, температура источника 150°C, напряжение на капилляре 3500-4000 В, напряжение на конусе 20-70 В, температура испарения 200°С). Исходное соединение 7а получено аналогично ранее описанной методике [18], 3-бензоилпирроло[2,1-c][1,4]бензоксазин-1,2,4-трион получен по методике [26], метил 4-(4-метоксифенил)-4-оксо-2-(фениламино) бут-2-еноат по методике [27], исходное соединение 7ь синтезировано в соответствии с методикой [19]. Карбодиимид 8 получен у коммерческого поставщика Sigma Aldrich. Толуол перегоняли над натрием перед использованием, остальные растворители и реагенты получены у коммерческого поставщика (ВЕКТОН) и использовались без дополнительной очистки.

#### ЗАКЛЮЧЕНИЕ

В ходе исследования синтезированы метил  $1-(2-гидроксифенил)-4,9-дибензо-ил-7-(4-метоксифенил)-2,6-диоксо-3-(1,3-дициклогексилуреидо)-1,7-диазоспиро [4.4] нона-3,8-диен-8-карбоксилат (<math>\mathbf{9a}$ ) и  $1-(6-(2-гидроксифенил)-2-имино-4,7-диоксо-1,3-дифенил-9-(4-хлорбензоил)-1,3,6-триазаспиро [4.4] нон-8-ен-8-ил)-1,3-дициклогексилмочевина (<math>\mathbf{9b}$ ), труднодоступные для получения иными методами.

Установлено, что подход, предложенный ранее [17], имеет ограничения для синтеза некоторых 5-спирозамещенных 3-амино-1,5-дигидро-2*H*-пиррол-2-онов, а реакции термолиза протекают неселективно в случае использования исходных продуктов типа метил 1-(2-гидроксифенил)-4.9-дибензоил-7-(4-метоксифенил)-2.6-диоксо-3-(1,3-дициклогексилуреидо)-1,7-диазоспиро[4.4]нона-3,8-диен-8-карбоксилата (**9a**) и 1-(6-(2-гидроксифенил)-2-имино-4,7-диоксо-1,3-дифенил-9-(4-хлорбензоил)-1,3,6-триазаспиро[4.4]нон-8-ен-8-ил)-1,3-дициклогексилмочевины (9b), в структуре которых есть замещенные пиррольный (продукт 9а) и имидазольный (продукт 9b) циклы, по-видимому, термически неустойчивые в исследованных условиях.

#### БЛАГОДАРНОСТИ

Авторы выражают благодарность Дмитриеву Максиму Викторовичу (ПГНИУ, Пермь, Россия) за выполнение исследований методом рентгеноструктурного анализа.

# ФОНДОВАЯ ПОДДЕРЖКА

Исследования выполнены при финансовой поддержке Пермского научно-образовательного центра "Рациональное недропользование".

### КОНФЛИКТ ИНТЕРЕСОВ

Авторы заявляют об отсутствии конфликта интересов.

# ИНФОРМАЦИЯ ОБ АВТОРАХ

Масливец Андрей Николаевич, ORCID: http://orcid.org/0000-0001-7148-4450

Лысцова Екатерина Александровна, ORCID: https://orcid.org/0000-0003-0453-0589

Храмцова Екатерина Евгеньевна, ORCID: https://orcid.org/0000-0002-5851-3082

#### СПИСОК ЛИТЕРАТУРЫ

- Asif M., Alghamdi S. Russ. J. Org. Chem. 2021, 57, 1700–1718.
  doi 10.1134/S1070428021100201
- Raju R., Gromyko O., Fedorenko V., Luzhetskyy A., Muller R. *Tetrahedron Lett.* 2012, 53, 6300–6301. doi 10.1016/j.tetlet.2012.09.046
- 3. Hartwig W., Born L. *J. Org. Chem.* **1987**, *52*, 4352–4358. doi 10.1021/jo00228a037
- 4. Shiomi K., Yang H., Xu Q., Arai N., Namiki M., Hayashi M., Inokoshi J., Takeshima H., Masuma R., Komiyama K., Omura S. *J. Antibiot.* **1995**, *48*, 1413–1418. doi 10.7164/antibiotics.48.1413
- Park Y.C., Gunasekera S.P., Lopez J.V., McCarthy P.J., Wright A.E. *J. Nat. Prod.* 2006, 69, 580–584. doi 10.1021/np058113p
- Han Y., Wu Q., Sun J., Yan C.-G. *Tetrahedron*. 2012, 68, 8539–8544.
   doi 10.1016/j.tet.2012.08.030
- Xiang B., Belyk K.M., Reamer R.A., Yasuda N. *Angew. Chem. Int. Ed.* 2014, *53*, 8357–8378.
  doi 10.1002/anie.201404084
- Song R.-J., Li J.-H., Qian P.-C., Liu Y., Xiang J.-N. *Synlett.* 2015, 26, 1213–1216.
  doi 10.1055/s-0034-1380573
- Geesi M.H., Ouerghi O., Dehbi O., Riadi Y. *J. Environ. Chem. Eng.* 2021, *9*, 105344.
  doi 10.1016/j.jece.2021.105344
- Matiadis D., Stefanou V., Tsironis D., Panagiotopoulou A., Igglessi-Markopoulou O., Markopoulos J. *Arch. Pharm.* 2021, 354, e2100305. doi 10.1002/ardp.202100305
- Olla S., Manetti F., Crespan E., Maga G., Angelucci A., Schenone S., Bologna M., Botta M. *Bioorg. Med. Chem. Lett.* **2009**, *19*, 1512–1516. doi 10.1016/j.bmcl.2009.01.005
- 12. del Corte X., Lopez-Frances A., Villate-Beitia I., Sainz-Ramos M., Palacios F., Alonso C., de los Santos J.M., Pedraz J.L., Vicario J. *Pharmaceuticals (Basel.).* **2022**, *15*, 511–530. doi 10.3390/ph15050511
- 13. Козьминых В.О., Игидов Н.М., Зыкова С.С., Колла В.Е., Щуклина Н.С., Одегова Т.Ф. *ХФЖ*. **2002**, *36*, 23–26. [Koz'minykh V.O., Igidov N.M., Zykova S.S., Kolla V.E., Shuklina N.S., Odegova T.F. *Pharm. Chem. J.* **2002**, *36*, 188–191.] doi 10.1023/A:1019832621371

ЖУРНАЛ ОРГАНИЧЕСКОЙ ХИМИИ том 60 № 2-3 2024

- 14. Sweeney N.L., Hanson A.M., Mukherjee S., Ndjomou J., Geiss B.J., Steel J.J., Frankowski K.J., Li K., Schoenen F.J., Frick D.N. *ACS Infect. Dis.* **2015**, *1*, 140–148. doi 10.1021/id5000458
- Alizadeh N., Sayahi M.H., Iraji A., Yazzaf R., Moazzam A., Mobaraki K., Adib M., Attarroshan M., Larijani B., Rastegar H., Khoshneviszadeh M., Mahdavi M. *Bioorg. Chem.* 2022, *126*, 105876.
  doi 10.1016/j.bioorg.2022.105876
- Valdes-Pena M.A., Massaro N.P., Lin Y.-C., Pierce J.G. Acc. Chem. Res. 2021, 54, 1866–1877. doi 10.1021/acs.accounts.1c00007
- Khramtsova E.E., Lystsova E.A., Khokhlova E.V., Dmitriev M.V., Maslivets A.N. *Molecules*. 2021, 26, 7179. doi 10.3390/molecules26237179
- 18. Рачева Н.Л., Алиев З.Г., Масливец А.Н. *ЖОрХ*. **2008**, *44*, 1197—1201. [Racheva N.L., Aliev Z.G., Maslivets A.N. *Russ. J. Org. Chem.* **2008**, *44*, 1184—1189.] doi 10.1134/S1070428008080137
- 19. Кобелев А.И., Дмитриев М.В., Масливец А.Н. *ЖОрХ*. **2021**, *57*, 103–108. [Kobelev A.I., Dmitriev M.V., Maslivets A.N. *Russ. J. Org. Chem.* **2021**, *57*, 108–112.] doi 10.1134/S1070428021010152
- Lutjen A.B., Quirk M.A., Barbera A.M., Kolonko E.M. Bioorg. Med. Chem. 2018, 26, 5291–5298. doi 10.1016/j.bmc.2018.04.007

- 21. Williams A., Ibrahim I.T. *Chem. Rev.* **1981**, *81*, 589–636. doi 10.1021/cr00046a004
- 22. CrysAlisPro, Agilent Technologies, Version 1.171.37.33.
- Sheldrick G.M. Acta Crystallogr., Sect. A: Found. Crystallogr. 2008, 64, 112–122.
  doi 10.1107/S0108767307043930
- Sheldrick G.M. Acta Crystallogr., Sect. C: Struct. Chem. 2015, 71, 3–8. doi 10.1107/S2053229614024218
- Dolomanov O.V., Bourhis L.J., Gildea R.J, Howard J.A.K., Puschmann H. *J. Appl. Cryst.* 2009, 42, 339–341.
  doi 10.1107/S0021889808042726
- 26. Масливец А.Н., Машевская И.В., Красных О.П., Шуров С.Н., Андрейчиков Ю.С. *ЖОрХ.* **1992**, 28, 2545–2553. [Maslivets A.N., Mashevskaya I.V., Krasnykh O.P., Shurov S.N., Andreichikov Yu.S. *J. Org. Chem. USSR.* **1992**, 28, 2056–2062.]
- 27. Андрейчиков Ю.С., Масливец А.Н., Смирнова Л.И., Красных О.П., Козлов А.П., Перевозчиков Л.А. *ЖОрХ*. **1987**, *23*, 1534. [Andreichikov Yu.S., Maslivets A.N., Smirnova L.I., Krasnykh O.P., Kozlov A.P., Perevozchikov L.A. *J. Org. Chem. USSR*. **1987**, *23*, 1378—1387.]

# Reaction of 4-Hydroxyspiro[pyrrole-2,3'-pyrrole] and 4'-Hydroxyspiro[imidazole-5,2'-pyrrole] Derivatives with Dicyclohexylcarbodiimide

E. A. Lystsova, E. E. Khramtsova, and A. N. Maslivets\*

Perm State University, ul. Bukireva, 15, Perm, 614990 Russia \*e-mail: koh2@psu.ru

Received July 12, 2022; revised July 24, 2022; accepted July 25, 2022

The reaction of substituted 4-hydroxyspiro[pyrrole-2,3'-pyrrole] and 4'-hydroxyspiro[imidazole-5,2'-pyrrole] with dicyclohexylcarbodiimide leads to the corresponding derivatives of 4-ureidospiro[pyrrole-2,3'-pyrrole] and 4'-ureidospiro[imidazole-5,2'-pyrrole]. The thermal decomposition of the obtained ureidospirobisheterocycles proceeds nonselectively.

**Keywords:** pyrrole-2-one, spiro[pyrrole-2,3'-pyrrole], spiro[imidazole-5,2'-pyrrole], spirobisheterocycles, ureides, carbodiimides, thermolysis